

УДК 543.423

ИЗУЧЕНИЕ РАСПРЕДЕЛЕНИЯ ТЕМПЕРАТУРЫ И ИНТЕНСИВНОСТЕЙ СПЕКТРАЛЬНЫХ ЛИНИЙ АНАЛИТОВ ПО ВЫСОТЕ ПЛАЗМЕННОГО ФАКЕЛА ДУГОВОГО ДВУХСТРУЙНОГО ПЛАЗМОТРОНА

© А. В. Купцов¹, С. Б. Заякина², А. И. Сапрыкин¹

Статья поступила 26 сентября 2014 г.

С использованием многоканального эмиссионного спектрометра «Гранд» с дуговым плазмотроном в качестве источника возбуждения изучено распределение температуры, интенсивности спектральных линий благородных металлов и фонового сигнала по высоте плазменного факела. Показано, что угол между электродами плазменной горелки оказывает значимое влияние на распределение температуры и интенсивности аналитических линий благородных металлов.

Ключевые слова: двухструйный дуговой плазмотрон; атомно-эмиссионная спектрометрия; благородные металлы.

Компанией «ВМК-Оптоэлектроника» разработан новый спектральный комплекс на основе спектрометра «Гранд» [1, 2] с многоканальным анализатором эмиссионных спектров (МАЭС) [3] и двухструйного дугового плазмотрона (ДДП) новой конструкции [4]. Преимущество использования ДДП состоит в возможности прямого элементного анализа порошковых проб. Это обусловлено высокой мощностью ДДП и относительно слабыми матричными влияниями. Применение такого источника возбуждения особенно эффективно для анализа геологических объектов, которые отличаются большим разнообразием и сложным матричным составом. В этом случае упрощается пробоподготовка, так как исключается стадия разложения пробы, что

для геологических объектов зачастую является сложной задачей, и значительно сокращается время анализа. Как показано в работах [5 – 7], ДДП является перспективным источником возбуждения при анализе таких объектов.

Цель настоящей работы состояла в исследовании влияния температуры плазменного факела двухструйного дугового плазмотрона на интенсивности спектральных линий для выбора аналитической зоны (зоны регистрации сигнала) при определении благородных металлов в геологических образцах.

Внешний вид горелок плазмотрона в двух существующих вариантах показан на рис. 1. Второй вариант горелок, используемый в данной работе, отличается более массивным корпусом, снижающим влияние восходящего воздушного потока на ввод пробы в плазму. Такая конструкция позволяет повысить воспроизводимость и точность результатов спектрального ана-

¹ ФГБУН Институт неорганической химии им. А. В. Николаева СО РАН, г. Новосибирск, Россия; e-mail: kuptsov@niic.nsc.ru

² ФГБУН Институт геологии и минералогии им. акад. В. С. Соболева СО РАН, г. Новосибирск, Россия.

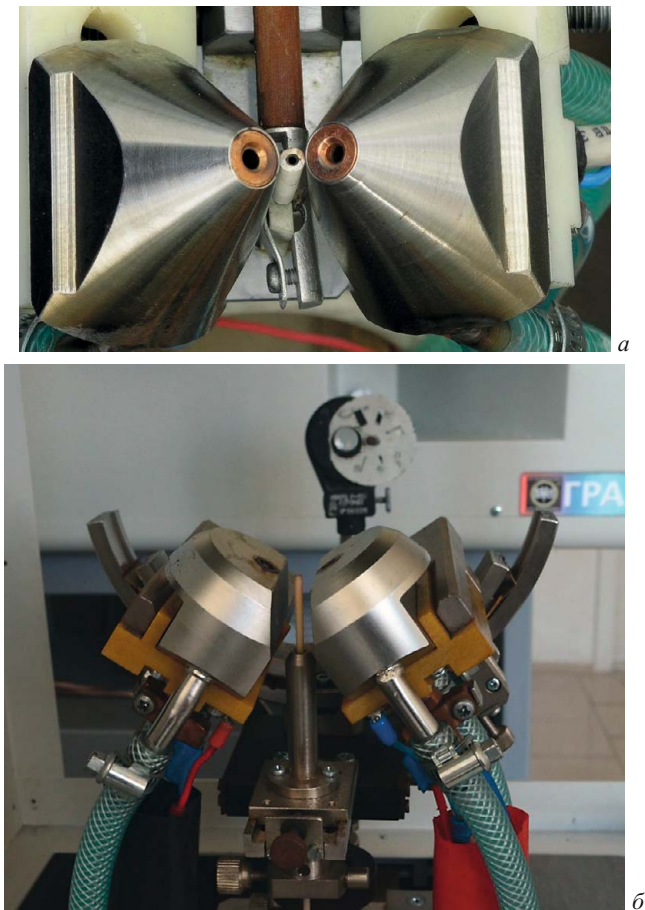


Рис. 1. Внешний вид горелок плазмотрона: первый (а) и второй (б) варианты

лиза. Известно, что конструкция горелки и такие параметры, как угол между электродами (соответственно угол между плазменными струями), расходы газов и мощность дуги, оказывают сильное влияние на распределение температуры и интенсивности спектральных линий анализаторов по высоте плазменного факела, что в конечном итоге оказывается на результатах количественного химического анализа (КХА). Основное внимание в данной работе уделяли исследованию условий формирования аналитического сигнала в плазмотроне новой конструкции с целью выбора аналитической зоны и оптимального угла между электродами.

В качестве объекта анализа использовали стандартный образец (СО) концентрата платинового КП-1, состав которого приведен в таблице. Пробы СО готовили последовательным разбавлением навески КП-1 (10 мг) спектрально чистым графитовым порошком в 15 000 раз.

Изучали распределения температуры плазмы и интенсивности спектральных линий Ag, Au, Pd и Pt, а также фонового сигнала (I_ϕ) по высоте факела. За интенсивность аналитической линии ($I_{x, \text{ал}}$) определяемого элемента x принимали разность измеренной интенсивности линии (I_x) и фонового сигнала: ($I_{x, \text{ал}} = I_x - I_\phi$). При проведении измерений за нулевую точку отсчета принимали нижнее положение горелки,

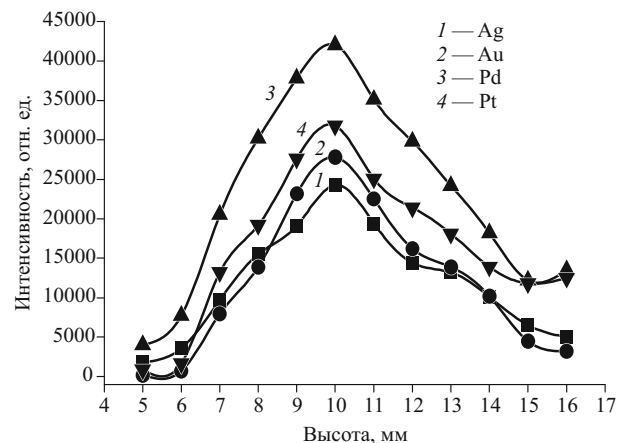


Рис. 2. Распределение интенсивностей аналитических линий Ag, Au, Pd и Pt по высоте факела ДДП при угле между горелками 60°

заданное конструкцией ДДП. Спектры проб СО регистрировали с шагом по высоте факела 1 мм. Исследования проводили при силе тока 85 А и угле между электродами 60°. Расход аргона составлял: 4 л/мин (плазмообразующий поток) и 0,75 л/мин (транспортирующий поток). Результаты измерений интенсивности аналитических линий Ag I 338,289 нм, Au I 267,595 нм, Pd I 340,458 нм и Pt I 306,471 нм приведены на рис. 2. Видно, что измеренная интенсивность имеет единственный максимум на высоте 10 мм от нижнего положения горелки. Фоновый сигнал при этом равномерно растет и достигает максимума на высоте 12–14 мм (рис. 3), что соответствует точке слияния плазменных струй. Минимум относительного стандартного отклонения интенсивности наблюдается в той же области, что и максимум интенсивности аналитических линий, и не превышает 10 % (рис. 4).

Поскольку конструкция прибора допускает возможность изменения угла между электродами горелки в диапазоне 60–90° (рис. 5), было изучено влияние угла между электродами. Регистрацию спектров СО проводили по высоте факела с шагом 1 мм при углах 60°, 70°, 80° и 90°. Показано (рис. 6), что увеличение угла между электродами горелки оказывается на интенсивности аналитических линий благородных металлов (БМ). Максимальная интенсивность достигается при угле 60–70°. Дальнейшее увеличение угла

Аттестованные содержания элементов в СО концентрата платинового КП-1

Элемент	Содержание, %	Элемент	Содержание, %
Au	3,06	Ru	0,22
Ag	13,42	Cu	0,07
Ir	0,072	Fe	0,78
Pd	46,90	Ni	0,36
Pt	12,33	Se	2,33
Os	0,012	SiO ₂	0,29
Rh	0,51	S	1,41

между электродами горелки приводит к падению интенсивности, но не вызывает существенного сдвига максимума по высоте факела. Минимальное стандартное отклонение наблюдали при угле между горелками 70° .

Температуру плазмы ДДП оценивали методом относительных интенсивностей, используя линии железа:

$$T = 5040(E_2 - E_1)/\lg\{(I_1a_2)/(I_2a_1)\}, \quad (1)$$

где $a = \lambda/gA$, A — вероятность перехода; g — статистический вес нижнего уровня; E — энергия верхнего уровня; λ — длина волны; I — интенсивность. Этот прием широко используется для характеристики плаз-

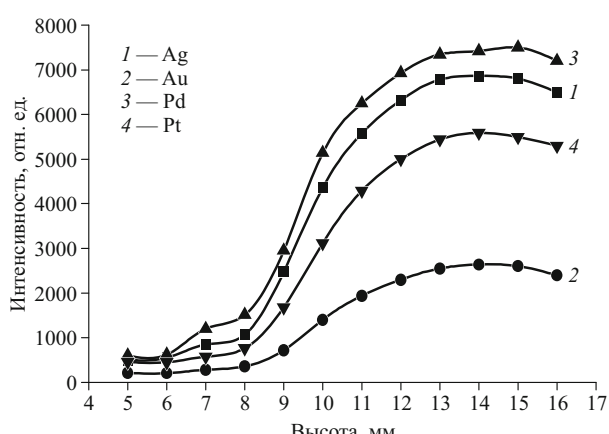


Рис. 3. Распределение интенсивности фонового излучения по высоте факела

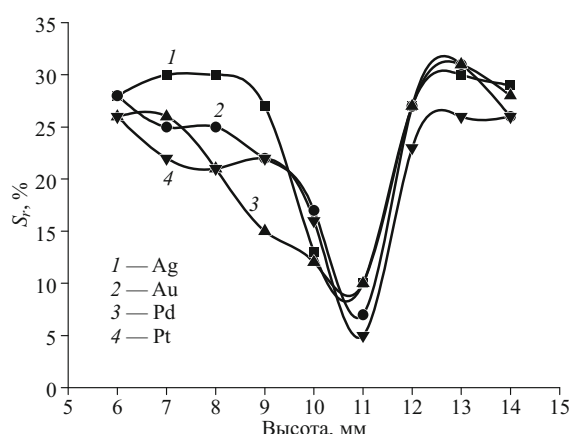


Рис. 4. Распределение относительного стандартного отклонения по высоте факела

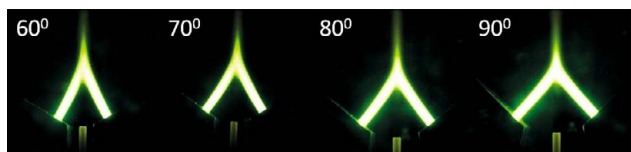


Рис. 5. Вид факела при разных углах между горелками

мы [8]. Точность оценки температуры при этом тем выше, чем больше разность энергий $E_2 - E_1$. В нашей работе использовали атомные линии железа: Fe 244,257; Fe 246,515; Fe 246,887; Fe 298,357; Fe 304,266 нм. На рис. 7 показано распределение температуры по высоте факела. Максимальная температура наблюдается при углах между плазменными струями 60° и 70° и достигает 7500–8000 К на высоте 12–13 мм от основания факела (точка слияния). Дальнейшее изменение угла приводит к понижению температуры до 6500–7000 К, что в свою очередь сказывается на интенсивности спектральных линий. Отметим, что распределение температуры при углах 80° и 90° имеет ярко выраженный максимум, который сдвинут к основанию факела и находится на высоте 11 мм. Это объясняется изменением положения точки слияния плазменных струй.

Проведенные исследования показали зависимость распределения интенсивностей аналитических линий БМ, а также температуры факела от угла между горелками. Из экспериментов следует, что оптимальный угол между горелками для определения БМ — 70° .

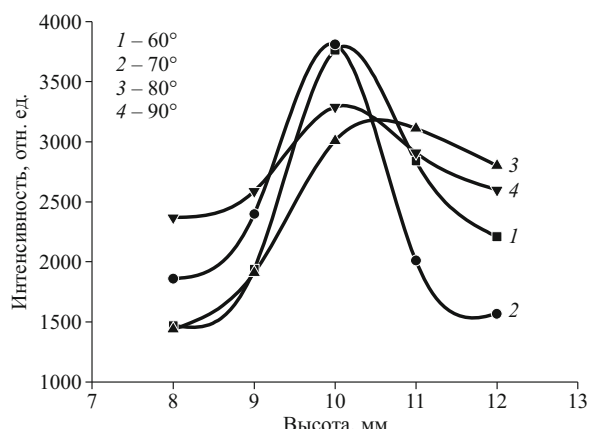


Рис. 6. Распределение интенсивности линии Pt 306,471 нм по высоте факела ДДП при разных углах

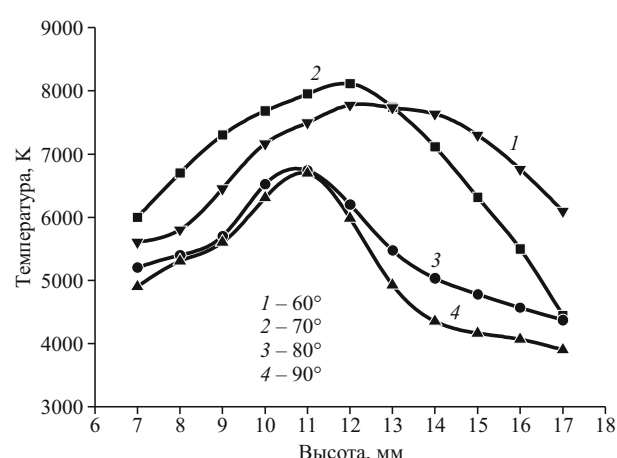


Рис. 7. Распределение температуры факела при разных углах между горелками

При таком угле интенсивность аналитических линий и температура факела максимальны, а стандартное отклонение минимально. Выполненные исследования являются частью работы по оптимизации условий анализа порошковых проб с использованием двухструйного дугового плазмотрона. Для выбора оптимальных условий проведения анализа необходимо провести изучение зависимости этих параметров от мощности дуги и расхода газов (плазмообразующего и транспортирующего). В дальнейшем планируется провести такое многофакторное исследование. Оно позволит не только установить влияние каждого фактора, но и их взаимное влияние, что является необходимым для выбора оптимальных условий атомно-эмиссионного спектрального анализа с использованием спектрального комплекса на основе спектрометра «Гранд» и двухструйного дугового плазмотрона.

ЛИТЕРАТУРА

1. Лабусов В. А. Комплексы приборов для атомно-эмиссионного спектрального анализа на основе спектрометра «Гранд» / Заводская лаборатория. Диагностика материалов. 2008. Т. 74. № 4. С. 21 – 29.
2. Лабусов В. А., Попов В. И., Путымаев А. Н. и др. Анализаторы МАЭС и их использование в качестве систем регистра-
- ции и обработки атомно-эмиссионных спектров / Аналитика и контроль. 2005. Т. 9. № 4. С. 110 – 115.
3. Черевко А. С., Юделевич И. Г., Попова В. П., Тагильцев А. П. Атомно-эмиссионный спектральный анализ порошков с использованием дугового двухструйного плазмотрона / Журн. анализ. химии. 1988. Т. 43. № 3. С. 426 – 434.
4. Заякина С. Б., Аношин Г. Н., Герасимов П. А., Смирнов А. В. Автоматизированная установка для атомно-эмиссионного определения золота, серебра и платиновых металлов / Журн. анализ. химии. 1999. № 8. С. 877 – 884.
5. Заякина С. Б., Аношин Г. Н. Сравнение распределений температуры возбуждения и интенсивностей аналитических линий благородных металлов в двухструйных дуговых плазмотронах, применяемых в атомно-эмиссионном анализе / Химия высоких энергий. 2007. Т. 41. № 4. С. 319 – 324.
6. Пат. 2458489 РФ. Двухструйный дуговой плазмотрон / Герасимов В. А., Лабусов В. А., Саушкин М. С.; заявитель и патентообладатель ООО «ВМК-Оптоэлектроника». — 2006105035/28; заявл. 17.02.2006; опубл. 10.05.2007, бюл. № 13.
7. Пат. 2298889 РФ. Двухструйный дуговой плазматрон для атомно-эмиссионного спектрального анализа / Тагильцев А. П., Тагильцев Е. А., Карпов Ю. А., Барановская В. Б.; заявитель и патентообладатель ОАО «Государственный научно-исследовательский и проектный институт редкometаллической промышленности «Гиредмет». — № 2011108246/07; заяв. 04.03.2011; опубл. 10.08.2012, бюл. № 22.
8. Методы исследования плазмы / Под ред. В. Лохте-Хольтгрена, пер. с англ. — М.: Мир, 1971. С. 140 – 144.